

## 梅津寺海岸における海浜変形について(Ⅱ)

愛媛大学工学部 正員 伊福 誠

愛媛大学工学部 正員 神沼忠男

東洋建設(株) 正員 安井祐輝

1 はじめに 沿岸海域の開発を余儀なくされている今日、構造物築造に伴う周辺海域への影響を適確に把握する必要があると思われるが、海浜変形の基礎的資料となる現地観測結果が不足しているのが現状である。こうしたことから本研究は水準測量、底質の採取、浮遊砂の採取および波浪観測に基づいて海浜の変形過程を明らかにするとともに、現地海浜の特性を考慮して one line theory によるパラメトリック解析を行つた。

2. 観測方法 水準測量: 図-1 に示すように岸冲および沿岸方向の測線を設定し、岸冲方向は高潮付近の干潮時に1月1回程度、沿岸方向は1983年11月5日に測定した。

底質の採取: 岸冲方向は1982年12月10日、1983年7月14日および11月5日、各測線上で10m毎に、沿岸方向は1983年5月14日はSt. 701～715、11月5日はSt. 701～716およびSt.

401～416において表層から約3cmの深さまでの底質を採取した。波浪観測: 図-1 に示した地点で1982年9月25日～約5時間波浪観測を行つた。

浮遊砂の採取: T型突堤の横堤の北約36mの地点で1982年9月24日から9月26日まで約40時間、梅津寺海岸の中央部沖合約120mの地点で1983年2月1日から2月5日まで約110時間観測を行つた。なお、観測期間中の平均水深は、それぞれ、1.55mおよび1.92mであつた。

3. 解析結果 海浜断面: 約2年間にわたる水準測量の結果から梅津寺海岸の侵食傾向が顕著に示され、12月頃であり、約1年周期でその傾向がみられる。海浜北部のL-11付近では大きな変化はみられず平衡状態に達しているのではないかと思われる。底質粒径: 採取した底質は粗目で大きさが26, 200, 0.84, 0.42, 0.25, 0.105mおよび0.074mmの標準ふるいを使用して粒度分析し中央粒径および淘汰度(標準偏差)を求めた。一般にシルトや粒径の小さい砂粒子は運動機構として沈降速度に大きく影響を受ける浮遊形態が卓越してしまふと思われる。図-2は水温25°Cの場合の鶴見(1932)による沈降速度が1cm/sec変化した場合の粒径の変化量 $\Delta d$ を示したものである。

この図をみると、底質の中央粒径は構成粒子の粒度組成より決定されるこことから、中央粒径が0.15mmおよび1.1mmの不連続点附近にあら場合、粒径の変化量 $\Delta d$ は両範囲の影響を受けたために点線のようになると思われる。すなわち中央粒径が不連続点附近にある場合、中央粒径が小さくなるほど粒径の変化量 $\Delta d$ は小さくなり淘汰度が良くなり、逆に中央粒径が大きいほど淘汰度は悪くなることになる。図-3は中央粒径と淘汰度の関係を示したもので神沼(1961)による美濃川の大洲海岸で得たもので黒丸は梅津寺海岸のものである。この図をみると中央粒径が0.126～0.25mmの範囲では中央粒径が小さくなるほど淘汰度は悪くなり、0.25～0.5mmの範囲では中央粒径に拘らず淘汰度はほぼ一定であることがわかる。このことは前述した図-2の結果をよく説明しており梅津寺海岸の底質は沈降速度の影響を受けて浮遊形態が卓越して輸送されるものと思われる。浮遊砂: 図-4(a)および(b)は、それぞれ、1982年9月の海底より0.85mと0.64mおよび

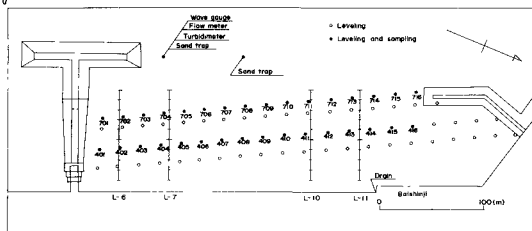


図-1 梅津寺海岸概略図および観測地点

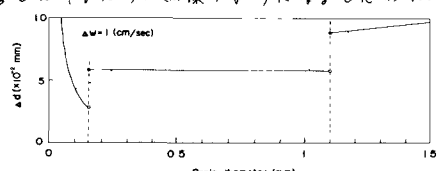


図-2 沈降速度が変化した場合の粒径の変化量

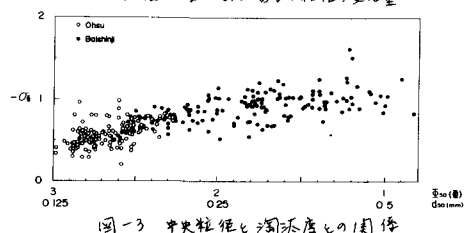
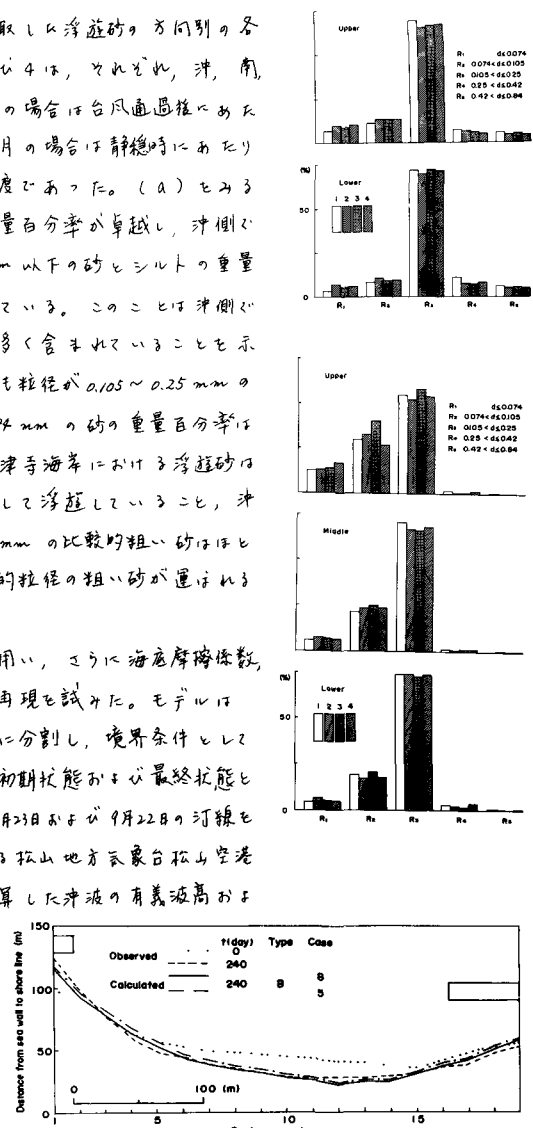


図-3 中央粒径と淘汰度との関係

1983年2月の海底より0.76m, 0.58mと0.30mの高さで採取した浮遊砂の方向別の各粒径の重量百分率を示したもので、図中の1, 2, 3および4体、それされ、沖、南、岸および北側で採取したものである。なお、1982年9月の場合は台風通過後にあたり25日の観測期間中の有義波高は0.71m程度で、1983年2月の場合(静穏時にあたり)観測期間中のSMB法による有義波高の最大値は0.16m程度であった。(a)をみると、上部および下部とも粒径が0.105~0.25mmの砂の重量百分率が卓越し、沖側で採取した浮遊砂は他の3方向に比べると粒径が0.105mm以下の砂とシルトの重量百分率は小さく、粒径が0.105~0.84mmでは大きい値である。このことは沖側で採取した浮遊砂は他の3方向に比べると比較的粗い砂が多く含まれていることを示している。(b)をみると、上部、中間部および下部とも粒径が0.105~0.25mmの砂の重量百分率が卓越している。また、粒径が0.25~0.84mmの砂の重量百分率は極めて小さく、いずれも5%未満である。これからう梅津寺海岸における浮遊砂は静穏時でも荒天時でも粒径が0.105~0.25mmの砂が卓越して浮遊していること、沖波の有義波高が0.16m程度の静穏時に粒径0.25~0.84mmの比較的粗い砂はほとんど浮遊しないこと、また、荒天時には岸に向って比較的粒径の粗い砂が運ばれることがわかる。

one line theory：小笠・Brampton(1979)によるモデルを用い、さうに海底摩擦係数、移動限界水深および岸冲漂砂量に換算を加え現地海浜の再現を試みた。モデルは図-5に示すように沿岸方向に20m間隔で19のセクションに分割し、境界条件としてセクション1および19での沿岸漂砂量は0とした。また初期状態および最終状態として、それされ、愛媛県の深浅測量(1983)から得た1983年1月23日および9月22日の汀線を用いた。入力データとしては観測海浜の南約4.5kmにある松山地方気象台松山空港出張所の風向および風速データからSMB法によって推算した沖波の有義波高および有義波周期から屈折、回折および減水効果を考慮して各セクション毎に、30日毎の碎波角および碎波高を求めた。海底摩擦係数としては小笠らによる沿岸方向に波高分布が早い場合の沿岸漂砂量式が Scripps etg. に等しい場合、梅津寺海岸の平均海浜勾配が0.03であることから得られた0.035および前二者の著者(1983)が提案した式より30日毎にセクション1~19について求めた值を240日間で平均した値として0.1を用いた。移動限界水深として初期移動限界水深および完全移動限界水深を用いた。岸冲漂砂量としては粒径を考慮した野田・松原(1978)の岸冲漂砂量式を用い、式中の比例定数として $1 \times 10^{-10}$ ,  $5 \times 10^{-10}$ および $1 \times 10^{-9}$ を用いて検討した。図-5は岸冲漂砂量式中の比例定数を $5 \times 10^{-10}$ としたものでCase 8および5で移動限界水深と海底摩擦係数を、それされ、完全移動限界水深と0.035としたものである。この図をみると、両者とも現地汀線とよく一致していながら、さうに海岸堤防から汀線までの距離について、計算結果と現地汀線との相対誤差を調べるとCase 8の方が現地の汀線をよく再現しているようである。また、計算結果と観測結果の断面を比較した結果、両者の断面形状および海浜勾配が似ている場合には汀線の位置はよく一致していた。これらのことから、one line theoryによる解析では、完全移動限界水深、前二者の著者が提案した式より求めた海底摩擦係数および野田・松原が提案した岸冲漂砂量式を用い、式中の比例定数を $5 \times 10^{-10}$ とすと現地汀線とよく一致すること、などがわかった。



た直を240日間で平均した値として0.1を用いた。移動限界水深として初期移動限界水深および完全移動限界水深を用いた。岸冲漂砂量としては粒径を考慮した野田・松原(1978)の岸冲漂砂量式を用い、式中の比例定数として $1 \times 10^{-10}$ ,  $5 \times 10^{-10}$ および $1 \times 10^{-9}$ を用いて検討した。図-5は岸冲漂砂量式中の比例定数を $5 \times 10^{-10}$ としたものでCase 8および5で移動限界水深と海底摩擦係数を、それされ、完全移動限界水深と0.035としたものである。この図をみると、両者とも現地汀線とよく一致していながら、さうに海岸堤防から汀線までの距離について、計算結果と現地汀線との相対誤差を調べるとCase 8の方が現地の汀線をよく再現しているようである。また、計算結果と観測結果の断面を比較した結果、両者の断面形状および海浜勾配が似ている場合には汀線の位置はよく一致していた。これらのことから、one line theoryによる解析では、完全移動限界水深、前二者の著者が提案した式より求めた海底摩擦係数および野田・松原が提案した岸冲漂砂量式を用い、式中の比例定数を $5 \times 10^{-10}$ とすと現地汀線とよく一致すること、などがわかった。